

УДК 547.658.2

**В. Ф. Аникин, В. В. Ведута, Н. Ф. Фед'ко**

Одесский национальный университет имени И. И. Мечникова  
ул. Дворянская, 2, 65082, Одесса; e-mail: anikin\_vf@pac0.odessa.ua

## 1,2-ПРОИЗВОДНЫЕ АЦЕНАФТИЛЕНА.

### ДЕГИДРОХЛОРИРОВАНИЕ ГАЛОГЕНЗАМЕЩЕННЫХ ЦИС- И ТРАНС-1,2-ДИХЛОРАЦЕНАФТЕНА В СИСТЕМЕ *i*-PrOK—*i*-PrOH

Оценены скорости дегидрохлорирования галогензамещенных *цис*- и *транс*-1,2-дихлораценафтенов в системе *i*-PrOK—*i*-PrOH. Значительные различия скоростей позволяют надежно идентифицировать *цис*- и *транс*-изомеры 1,2-дихлоридов аценафтилена.

**Ключевые слова:** элиминирование, *цис*- и *транс*-1,2-дихлораценафтены, аценафтилен.

1,2-Дигалогенпроизводные аценафтилена являются доступными и удобными исходными веществами для получения различных функциональных производных аценафтилена: 1,2-диолов [1], их моно- и диацетатов [2, 3], аценафтиленов [4], а также благодаря циклическому строению представляют интерес как модельные соединения для изучения механизмов реакций, протекающих у аллифатического атома углерода, в частности, реакций нуклеофильного замещения и элиминирования [5—7]. Как показали авторы работ [7—9], *цис*- и *транс*-изомеры 1,2-дихлор-, 1,2-дифтор- и 1,2-дibромаценафтилена, являясь диастереомерами, имеют разные температуры плавления, дипольные моменты, а также имеют характерные различия в ЯМР <sup>1</sup>Н спектрах: химические сдвиги метиновых протонов *цис*-1,2-дигалогенидов на 0,05—0,07 м.д. смешены в область более слабых полей по отношению к соответствующим сдвигам для *транс*-изомеров, и несимметрично замещенные в ароматическом ядре *цис*- и *транс*-изомеры имеют разный характер спин-спинового взаимодействия этих протонов. Все вышеупомянутые различия позволяют эффективно проводить их разделение и идентификацию. Однако существенным неудобством идентификации 1,2-дигалогенпроизводных на основании различий в ЯМР спектрах или значений дипольных моментов является необходимость синтеза обоих возможных диастереомеров. Для идентификации 1,2-дихлорзамещенных аценафтилена мы попытались использовать особенности их химического поведения, а именно существенно различные скорости дегидрогалогенирования *цис*- и *транс*-1,2-дигалогенпроизводных аценафтилена под действием основания.

Изучению механизма элиминирования галогеноводородов посвящены работы [5—7]. Авторы работы [7] установили, что реакция дегидрогалогенирования *транс*-1,2-дигалогенидов аценафтилена (бромхлор-, дихлор-, хлорфтор- и дифтор-) *трет*-бутоксидом калия в *трет*-бутаноле является (E1cb)<sub>1</sub> процессом и протекает как *син*-элиминирование. С этим механизмом согласуется предпочтительное элиминирование HF от *транс*-1-хлор-

2-фтораценафтина и установленный порядок уходящих групп: F > Cl ~ Br. Карбанионный механизм согласуется с результатами работы [5], где установлено, что элиминирование HCl от *цис*-1,2-дихлораценафтина под действием NaOH в этаноле проходило в 750 раз быстрее, чем для *транс*-изомера. При использовании системы EtOK-EtOH скорость при *син*-элиминировании в ряду Br > Cl > F падает [7], на основании чего авторами был предложен E2 механизм. Однако обнаруженный эффект уходящих групп оказался небольшим и стадийный механизм поэтому не может быть полностью исключен. Для *анти*-элиминирования от *цис*-1,2-дигалогенаценафтено в системе EtOK-EtOH наблюдается значительный эффект уходящей группы и влияния галогена в β-положении на скорость реакции [7], что дает основание постулировать синхронный E2 механизм.

Итак, для *цис*-1,2-дигалогенидов с высокоосновными реагентами реакция элиминирования, вероятно, протекает по анионоподобному E2 механизму, и скорость ее больше, чем с *транс*-изомером. В цитируемых работах [5—7], практически исчерпывающих список публикаций по кинетике элиминирования 1,2-дигалогенидов аценафтина, в качестве субстратов использованы лишь *цис*- и *транс*-1,2-дихлориды незамещенного аценафтина. Изучение реакционной способности серии замещенных в ядре 1,2-дихлоридов может привести к более убедительным заключениям о механизме обсуждаемой реакции.

С синтезом диастереомерных пар галогензамещенных 1,2-дихлораценафтина [8] появилась возможность сравнения скоростей их дегидрохлорирования в условиях, исключающих конкуренцию реакций элиминирования и замещения, а также возможность проявления полярного влияния заместителей в ароматическом ядре на скорость элиминирования. С целью расширения набора диастереомерных пар замещенных 1,2-дихлораценафтина дополнительно были синтезированы *цис*- и *транс*-1,2-дихлориды 5,6-дихлор-, 5,6-дибром- и 3,5,6-трибромаценафтина (I д-ж, II д-ж). Синтез проводили по методикам получения 1,2-дихлоридов 5-галогензамещенных аценафтина, описанных в [8]. Строение синтезированных соединений было доказано методом ЯМР <sup>1</sup>H спектроскопии. Также для полученных веществ были измерены дипольные моменты (табл. 1), которые определяли по второму методу Дебая [10] в бензole при 25,0±0,1 °C в интервале массовых долей веществ 0,2—1,5%. Молярную поляризацию  $P_{2\infty}$  вычисляли по методу Хальверштадта и Камлера [11] с аналитической экстраполяцией зависимостей  $\epsilon_{12} = w_2$  и  $v_{12} = w_2$  в виде  $\epsilon_{12} = \epsilon_1 + \alpha w_2$  и  $v_{12} = v_1 + \beta w_2$  к «бесконечному» разбавлению (здесь и ниже индексы принадлежат: 1 — растворителю, 2 — веществу, 12 — раствору).

Массовую долю вещества, удельный объем и диэлектрическую проницаемость растворов вычисляли по формулам:

$$\begin{aligned} w_2 &= m_2 / m_{12}, \\ v_{12} &= V_{12} / m_{12}, \\ \epsilon_{12} &= 1,2727 (c_{12} - c) / (c_1 - c) + 1, \end{aligned}$$

где  $w$ ,  $m$ ,  $v$ ,  $V$ ,  $c$  — массовая доля, масса (г), удельный объем ( $\text{см}^3 \cdot \text{г}^{-1}$ ), объем ( $\text{см}^3$ ), электрическая емкость измерительной ячейки с воздухом в единицах прямоемкостной шкалы. Дипольный момент вычисляли по формуле

$$\mu = 0,01281 [298,15 (P_{2\infty} - MR_D)]^{1/2},$$

где  $P_{2\infty}$  — молярная поляризация вещества, вычисляемая по формуле [12]:

$$P_{2\infty} = M_r [3 \alpha v_1 / (\varepsilon_1 + 2)^2 + (v_1 + \beta)(\varepsilon_1 - 1) / (\varepsilon_1 + 2)],$$

где  $M_r$  — молярная масса вещества;  $MR_D$  — молярная рефракция вещества для желтой линии натрия, вычисляемая из молярной рефракции аценафтина ( $52 \text{ см}^3$ ) [13, 14], атомных рефракций водорода и заместителей X [14]:

$$MR_D = MR_D(\text{Ац}) - nAR_D(\text{H}) + nAR_D(\text{X}).$$

Таблица 1

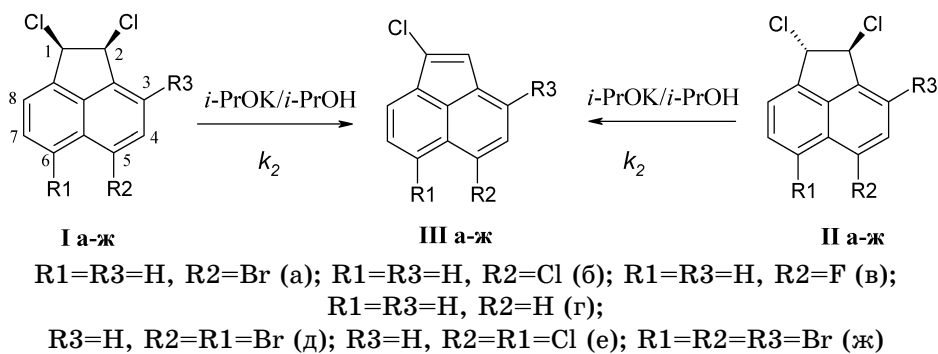
Дипольные моменты галогензамещенных 1,2-дихлораценафтина

№ соед.	$\varepsilon_1$	$\alpha$	$v_1$	$\beta$	$P_{2\infty}$	$\mu, \text{Д}$	
						опыт	расчет*
I <sub>д</sub>	2,2719	2,082	1,1437	-0,589	212,0	2,57	3,75
II <sub>д</sub>	2,2733	0,481	1,1440	-0,571	99,5	1,04	2,23
I <sub>е</sub>	2,2724	2,342	1,1443	-0,223	208,7	2,59	3,66
II <sub>е</sub>	2,2729	0,617	1,1444	-0,402	98,4	1,15	2,11
I <sub>ж</sub>	2,2723	1,901	1,1443	-0,718	222,8	2,60	3,55
II <sub>ж</sub>	2,2721	1,079	1,1443	-0,634	163,0	1,95	3,25

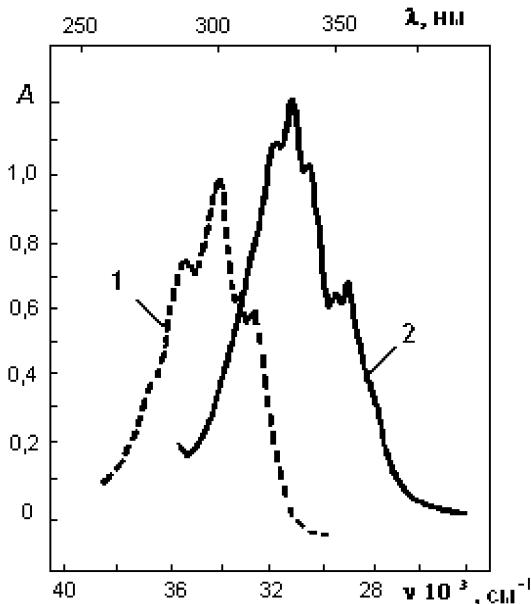
\* — вычислено по векторно-аддитивной схеме [10] с учетом геометрии молекул цис- и транс-1,2-дихлораценафтенов [15, 16] и моментов связей C-Hg [10].

Константы скоростей реакции дегидрохлорирования цис- и транс-1,2-дихлоридов 5-бром-, 5-хлор-, 5-фтор-, 5,6-дихлор-, 5,6-дибром- и 3,5,6-трибромаценафтина (схема 1) определяли при температуре  $20^\circ\text{C}$ , убедившись, что в результате действия *i*-PrOK в *i*-PrOH на серию этих 1,2-дихлорпроизводных аценафтина действительно образуются лишь продукты элиминирования.

Схема 1



Ход реакций дегидрохлорирования контролировали спектрофотометрически. Электронные спектры поглощения исходных *цис*- и *транс*-1,2-дихлоралогензамещенных аценафтеноов и продуктов реакции элиминирования — 1-хлоралогензамещенных аценафтиленов (III) — отличаются до такой степени, что для регистрации кинетической кривой было возможным в качестве аналитических длин волн использовать длинноволновой максимум в спектре 1-хлораценафтиленов (III). Характерными являются различия в спектрах *транс*-5-бром-1,2-дихлораценафтилена и продукта его дегидрохлорирования — 5-бром-1-хлораценафтилена (рис.). Аналитические длины волн, использованные при регистрации кинетических кривых в случае замещенных 1,2-дихлораценафтена, приведены в экспериментальной части.



УФ спектры *транс*-5-бром-1,2-дихлораценафтилена (1) и 5-бром-1-хлораценафтилена (2), (*i*-PrOH,  $l = 1,002$  см,  $c = 1 \cdot 10^{-4}$  моль/л)

*транс*-1,2-Дихлориды реагировали сравнительно медленно. Это позволило фиксировать расходование субстратов без особых трудностей (табл. 2). Для обеспечения приемлемой скорости образования 1-хлораценафтиленов из *цис*-1,2-дихлоридов галогензамещенных аценафтеноов и возможности ее измерения, концентрацию изопропилата калия (ИПК) пришлось снизить до  $(3-3,3) \cdot 10^{-4}$  моль/л. Для стандартизации использовали метод определения концентрации *i*-PrOK, основанный на чрезвычайно большой реакционной способности *цис*-1,2-дигромаценафтилена, по количеству 1-бромаценафтилена, образующегося из *i*-PrOK в избытке *цис*-1,2-дигромаценафтилена [17].

Таблица 2

**Константы скоростей реакций дегидрохлорирования замещенных цис- и транс-1,2-дихлораценафтиленов в системе *i*-PrOK-*i*-PrOH ( $t=20.0\pm0.1^\circ\text{C}$ )**

№	Исходные концентрации, моль/л		$k_2 \cdot 10^2$ , л/(моль·с)	№	Исходные концентрации, моль/л		$k_2 \cdot 10^2$ , л/(моль·с)
	[ <i>i</i> -PrOK] ·10 <sup>4</sup>	[Субстрат] ·10 <sup>5</sup>			[ <i>i</i> -PrOK] ·10 <sup>4</sup>	[Субстрат] ·10 <sup>5</sup>	
Ia	3,24	8,69	4708	IIa	238	8,44	16,0
Iб	3,24	8,70	2195	IIб	258	8,45	13,5
Iв	3,24	8,76	1107	IIв	258	8,43	3,85
Iг	3,24	8,68	130	IIг	258	8,48	0,15
Iд	3,24	8,69	55000*	IIд	15,5	8,40	169
Iе	3,24	8,69	23000*	IIе	15,5	8,52	130
Iж	3,24	8,66	31000*	IIж	15,5	8,48	159

\* — Оценочные величины.

Для 5-галогензамещенных цис- и транс- 1,2-дихлораценафтенов наблюдается хорошая корреляция с  $\sigma$ -константами Гамметта заместителей:

цис-изомеры:  $\lg k = 5,17 \sigma + 0,37$ ,  $r = 0,90$ ;

транс-изомеры:  $\lg k = 4,45 \sigma - 1,83$ ,  $r = 1$ .

Видно, что с увеличением  $\sigma$ -константы скорость реакции увеличивается. Это свидетельствует об анионном переходном состоянии, что согласуется с известными литературными данными по дегидрогалогенированию транс-изомеров со смешанными галогенами (бромхлор-, дихлор-, хлорфтор- и дифтор-), которые идентифицировали механизм этой реакции как E1cb [7].

В дополнение к полученным данным мы провели дегидрохлорирование цис- и транс-1,2-дихлораценафтилена и транс-5-бром-1,2-дихлораценафтилена *i*-PrOK в *i*-PrOD. Оказалось, что в процессе реакции для первых двух веществ дейтерообмена практически не наблюдается. В случае транс-5-бром-1,2-дихлораценафтилена около 11% продукта элиминирования содержит дейтерий. Эти результаты позволяют уточнить положение пути дегидрохлорирования незамещенных 1,2-дихлоридов в спектре механизмов элиминирования как близкого к (E1cb)<sub>1</sub>, а для транс-5-бром-1,2-дихлораценафтилена — смешанных в сторону анионного механизма, близкого к (E1cb)<sub>2</sub>.

Для незамещенных транс- и цис-1,2-дихлораценафтенов, их 5-галогензамещенных, а также транс-дихлоридов 5,6- и 3,5,6-галогензамещенных эффективные константы скоростей (табл. 2) определены достаточно точно, о чем свидетельствуют статистические оценки для этих величин. Для цис-1,2-дихлор-5-галогензамещенных использованная методика определения констант, очевидно, достигает предела необходимой точности. Даже при снижении концентрации *i*-PrOK для них удается регистрировать кинети-

ческую кривую (после проведения смешения субстрата и реагента), начиная лишь со степеней превращения субстрата в 30-40%. Еще в большей степени методика оказывается несовершенной для 5,6- и 3,5,6-галогензамещенных *цис*-1,2-дихлораценафтина. В случае этих соединений реакция практически завершается за время смешения реагентов. По этой причине величины  $k_2$  для 5,6-дихлор-, 5,6-дибром- и 3,5,6-трибромзамещенных *цис*-1,2-дихлораценафтина являются лишь оценочными. В дальнейшем, очевидно, придется использовать для определения скорости дегидрохлорирования этих соединений иные, например, струйные методы [18].

Выбранный кинетический тест для подтверждения конфигурации 1,2-дихлоридов оказался вполне надежным. Для 5-замещенных 1,2-дихлораценафтина можно ожидать, что установление конфигурации по результатам абсолютных кинетических измерений, т. е. только для одного из изомеров, может оказаться вполне определенным.

## Экспериментальная часть

Реакцию дегидрохлорирования проводили непосредственно в кварцевых кюветах на установке, включающей спектрофотометр СФ-26 с термостатированным блоком для кювет. ЯМР  $^1\text{H}$  спектры измерены на приборе Bruker WM 250, растворитель  $\text{CDCl}_3$ , эталон — ТМС. УФ спектры регистрировали на спектрофотометре Specord UV-Vis, растворитель *i*-PrOH.

*цис*- и *транс*-1,2-Дихлорзамещенные 5-галогенпроизводных аценафтина (**Ia-g**, **IIa-g**) получали по методу [8].

**цис-1,2-Дихлор-5,6-дибромаценафтен (Iд).** Раствор 2 г (6,45 ммоль) 5,6-дибромаценафтилена в 22 мл четыреххлористого углерода при 4—5 °C насыщали сухим хлором до привеса 0,48 г, после чего выдерживали 2 ч. Отфильтровали 1 г продукта с т.пл. 175—176 °C. После кристаллизации из хлороформа получили 0,45 г дихлорида (**Iд**) (18,3 %) в виде светло-оранжевых игл, т.пл. 185—186 °C [19]. Спектр ЯМР  $^1\text{H}$ , δ, м.д.,  $J$ , Гц: 5,79 с (2H), ( $\text{H}^1+\text{H}^2$ ); 7,41 д (2H),  $J_{34}=7,5$  ( $\text{H}^3+\text{H}^8$ ); 7,98 д (2H),  $J_{78}=7,5$  ( $\text{H}^4+\text{H}^7$ ).

**транс-1,2-Дихлор-5,6-дибромаценафтен (IIд).** К перемешиваемой смеси 1,3 г (15 ммоль) диоксида марганца, 3,1 г (10 ммоль) 5,6-дибромаценафтилена и 10 мл тетрагидрофурана при 45 °C постепенно добавили 6,5 г (60 ммоль) триметилхлорсилана (TMCS), после чего выдержали при 60 °C в течение 45 мин. Наблюдалось потемнение и увеличение вязкости раствора. Смесь охладили, разбавили 50 мл воды и экстрагировали бензолом. Экстракт промыли водой, сушили хлоридом кальция, испарили растворитель и получили 3,7 г продукта. После двукратной кристаллизации из хлороформа получили 0,5 г чистого дихлорида (**IIд**) (13,1%) в виде светло-оранжевых игл, т.пл. 184,5—185,5 °C. При смешении с образцом *цис*-дихлорида (**Iд**) наблюдалась депрессия температуры плавления. Спектр ЯМР  $^1\text{H}$ , δ, м.д.,  $J$ , Гц: 5,65 с (2H), ( $\text{H}^1+\text{H}^2$ ); 7,41 д (2H),  $J_{34}=7,5$  ( $\text{H}^3+\text{H}^8$ ); 7,02 д (2H),  $J_{78}=7,5$  ( $\text{H}^4+\text{H}^7$ ). УФ спектр,  $\lambda_{\text{макс}}$ , нм ( $\lg\epsilon$ ): 302 (3,91), 315 (4,07), 329 (3,95), 334 (3,91). Найдено, %: C 37,80, 37,91; H 1,66, 1,70; Cl+Br 60,17, 60,40.  $\text{C}_{12}\text{H}_6\text{Br}_2\text{Cl}_2$ . Вычислено, %: C 37,84; H 1,59; Cl+Br 60,58.

**цис-1,2,5,6-Тетрахлораценафтен (Iе).** Раствор 2,21 г (10 ммоль) 5,6-дихлораценафтилена в 22 мл четыреххлористого углерода при 4—5°C насыщали сухим хлором до привеса 0,72 г, после чего выдержали 2 ч. Отфильтровали 0,9 г продукта (Iе). После кристаллизации из дихлорэтана получили 0,39 г (13,4 %) светло-оранжевых игл, т.пл. 171—172°C [19]. Спектр ЯМР  $^1\text{H}$ , δ, м.д., J, Гц: 5,82 с (2H), ( $\text{H}^1+\text{H}^2$ ); 7,48 д (2H),  $J_{34}=7,5$ , ( $\text{H}^3+\text{H}^8$ ); 7,68 д (2H),  $J_{78}=7,5$  ( $\text{H}^4+\text{H}^7$ ).

**транс-1,2,5,6-Тетрахлораценафтен (Iе).** Получали аналогично (Пд), используя 1,3 г (15 ммоль) диоксида марганца, 2,21 г (10 ммоль) 5,6-дихлораценафтилена в 10 мл ТГФ и 6,5 г (60 ммоль) TMCS. Получили 2,75 г продукта, после двукратной кристаллизации которого из хлороформа получили 0,75 г (25,7 %) чистого тетрахлорида (Iе), т. пл. 180—181,5°C. Спектр ЯМР  $^1\text{H}$ , δ, м.д., J, Гц: 5,68 с (2H), ( $\text{H}^1+\text{H}^2$ ); 7,50 д (2H),  $J_{34}=7,5$ , ( $\text{H}^3+\text{H}^8$ ); 7,72 д (2H),  $J_{78}=7,5$  ( $\text{H}^4+\text{H}^7$ ). УФ спектр,  $\lambda_{\text{макс.}}$ , нм ( $\lg\epsilon$ ): 299 (3,89), 311 (4,05), 325 (3,91). Найдено, %: C 49,30, 49,52; H 2,13, 2,15; Cl+Br 48,57, 48,80.  $\text{C}_{12}\text{H}_6\text{Cl}_4$ . Вычислено, %: C 49,36; H 2,07; Cl+Br 48,57.

**цис-3,5,6-Трибром-1,2-дихлораценафтен (Iж).** В раствор 3 г 3,5,6-трибромаценафтилена в 25 мл хлороформа пропускали хлор до привеса 0,6 г. Раствор охладили до 4—6 °C и выдержали 30 мин, после чего отфильтровали 0,9 г продукта. После кристаллизации из хлороформа получили 0,65 г (18 %) чистого дихлорида (Iж) в виде бесцветных кристаллов, т.пл. 186—187 °C. Спектр ЯМР  $^1\text{H}$ , δ, м.д., J, Гц: 5,80 кв (1H),  $J_{12}=6,6$ ,  $J_{18}=1,0$  ( $\text{H}^1$ ); 5,83 д (1H),  $J_{12}=6,6$  ( $\text{H}^2$ ); 8,32 с (1H), ( $\text{H}^4$ ); 7,85 д (1H),  $J_{78}=7,5$  ( $\text{H}^7$ ), 7,45 д (1H),  $J_{78}=7,5$ ,  $J_{18}=1,0$  ( $\text{H}^8$ ). УФ спектр,  $\lambda_{\text{макс.}}$ , нм ( $\lg\epsilon$ ): 303 (3,79), 312 (3,87), 323 (3,74). Найдено, %: C 31,15, 31,40; H 1,32, 1,40; Cl+Br 67,80, 67,75.  $\text{C}_{12}\text{H}_5\text{Br}_3\text{Cl}_2$ . Вычислено, %: C 31,35; H 1,10; Cl+Br 67,56.

**транс-3,5,6-Трибром-1,2-дихлораценафтен (Пж).** Получали аналогично (Пд), используя 0,77 г (8,85 ммоль) диоксида марганца, 2,3 г (5,91 ммоль) 3,5,6-трибромаценафтилена в 20 мл ТГФ и 3,85 г (35,6 ммоль) TMCS. Получили 2,65 г продукта, после двукратной кристаллизации которого из хлороформа получили 1 г (36,8 %) транс-3,5,6-трибром-1,2-дихлораценафтина (Пж), т.пл. 208,5—209,5 °C. Спектр ЯМР  $^1\text{H}$ , δ, м.д., J, Гц: 5,71 д (1H),  $J_{18}=0,8$  ( $\text{H}^1$ ); 5,67 с (1H), ( $\text{H}^2$ ); 8,37 с (1H), ( $\text{H}^4$ ); 7,88 д (1H),  $J_{78}=7,5$  ( $\text{H}^7$ ), 7,45 д (1H),  $J_{78}=7,5$ ,  $J_{18}=0,8$  ( $\text{H}^8$ ). УФ спектр,  $\lambda_{\text{макс.}}$ , нм ( $\lg\epsilon$ ): 300 (3,80), 312 (3,91), 323 (3,77). Найдено, %: C 31,23, 31,20; H 1,20, 1,23; Cl+Br 67,71, 67,50.  $\text{C}_{12}\text{H}_5\text{Br}_3\text{Cl}_2$ . Вычислено, %: C 31,35; H 1,10; Cl+Br 67,56.

**Определение концентрации раствора *i*-PrOK-*i*-PrOH [17].** В мерную колбу поместили 1—5 мл (3—15)· $10^{-4}$  М раствора цис-1,2-дигромаценафтина в изопропаноле и 1—5 мл (1,0—1,3)· $10^{-3}$  М раствора *i*-PrOK в *i*-PrOH (соотношение концентраций 1:3). Испытуемый раствор *i*-PrOK выдержали при  $90\pm2^\circ\text{C}$  1 ч, смесь охладили, довели изопропанолом до 25 мл и фотометрировали ( $\lambda=346$  нм) относительно раствора цис-1,2-дигромаценафтина той же концентрации. По экспериментально установленной калибровочной зависимости для 1-бромаценафтилена рассчитали истинную концентрацию *i*-PrOK.

**Методика проведения кинетических измерений.** Готовили исходные растворы 1,2-дихлорида и *i*-PrOK (табл. 2) и термостатировали их при  $20\pm0,1$  °С в течение 40 мин. Растворы быстро смешали, одновременно включая секундомер и начиная регистрацию пропускания измерительной кюветы самописцем относительно раствора *i*-PrOK действующей концентрации. Параллельно определяли оптическую плотность раствора с полным превращением 1,2-дихлорида в 1-хлораценафтилен. Для этого смешивали исходный раствор субстрата с избытком основания, выдерживали смесь при  $90\pm1$  °С в течение 1 ч. Фотометрировали полученный раствор 1-хлораценафтилена относительно раствора *i*-PrOK, взятого для дегидрохлорирования. Полученные данные обрабатывали, используя кинетическое уравнение второго порядка [21].

Фотометрирование проводили на аналитической длине волн для: *цис*- и *транс*-1,2-дихлораценафтенона (Iг, IIг) — 342 нм ( $\lg \varepsilon$  3,71), *цис*- и *транс*-5-бром-1,2-дихлораценафтенона (Iа, IIа) — 353 нм ( $\lg \varepsilon$  3,84), *цис*- и *транс*-1,2,5-трихлораценафтенона (Iб, IIб) — 351 нм ( $\lg \varepsilon$  3,77), *цис*- и *транс*-1,2-дихлор-5-фтораценафтенона (Iв, IIв) — 345 нм ( $\lg \varepsilon$  3,73), *цис*- и *транс*-5,6-дигром-1,2-дихлораценафтенона (Iд, IIд) — 367 нм ( $\lg \varepsilon$  3,88), *цис*- и *транс*-1,2,5,6-тетрахлораценафтенона (Iе, IIе) — 363 нм ( $\lg \varepsilon$  3,82) и *цис*- и *транс*-3,5,6-трибром-1,2-дихлораценафтенона (Iж, IIж) — 366,5 нм ( $\lg \varepsilon$  3,88).

**Изопропанол-Д.** 51,5 мл изопропилацетата нагревали в течение 26 ч с раствором NaOD в D<sub>2</sub>O, приготовленном из 14 г металлического натрия и 25 мл D<sub>2</sub>O, после чего отогнали образовавшийся *i*-PrOD, сушили его BaO и повторно перегоняли. Получили 25 мл *i*-PrOD, в котором по данным ГЖХ анализа содержание основного вещества составило 99,6%.

**Сравнительное дегидрохлорирование в *i*-PrOK-*i*-PrOH и *i*-PrOK-*i*-PrOD.** 0,0612 г *цис*-1,2-дихлораценафтина выдержали при  $20\pm0,1$  °С с 5 мл 0,22 М раствора *i*-PrOK в *i*-PrOD. Выдержку продолжили при 90 °С в течение 2 ч, после чего реакционную смесь разбавили водой и продукт дегидрохлорирования экстрагировали бензолом, экстракт сушили сульфатом натрия, растворитель испарили. Опыт повторили в растворе *i*-PrOH. Полученные продукты анализировали методом масс-спектрометрии, а степень дейтерообмена (ДО) рассчитывали таким образом:

$$\text{ДО} = \frac{k}{k+1} \cdot 100\%,$$

где  $k = \left( \sum_{n_1}^{\frac{(M+1)}{M}} \right)_D \cdot \left( \sum_{n_2}^{\frac{(M+1)}{M}} \right)_H$ ; M, (M+1) — интенсивность пиков, соответствующих молекулярному иону (M<sup>+</sup>) и иону (M+1)<sup>+</sup> в масс-спектрах продуктов дегидрохлорирования в дейтерированном (D) и недейтерированном (H) спиртах; n<sub>1</sub>, n<sub>2</sub> — количество спектрограмм.

## **Список литературы**

1. Graebe C., Jequier J. Ueber Acenaphthenon // Lieb. Ann. — 1896. — Bd. 290. — S. 195—204.
2. Петренко Г. П., Аникин В. Ф. Галогенпроизводные аценафтиленгликоля. II. 5-Галогензамещенные аценафтиленгликоля. // Журн. орган. химии. — 1973. — Т.9, № 4. — С. 786—791.
3. Петренко Г. П., Аникин В. Ф. Галогенпроизводные аценафтиленгликоля. I. Синтез 5,6-дихлораценафтиленгликоля. // Журн. орган. химии. — 1972. — Т. 8, № 5. — С. 1061—1064.
4. Аникин В. Ф., Фадель М. А. 1,2-Производные аценафтилена XII. Дебромирование галогензамещенных Е-1,2-дибромаценафтилена // Журн. орган. химии. — 1994. — Т. 30, № 2. — С. 273—275.
5. Cristol S. J., Stermitz F. R., Ramey P. S. Mechanisms of elimination reactions. XVII. The *cis*- and *trans*-1,2-dichloroacenaphthenes; *trans*-dibromoacenaphthene // J. Am. Chem. Soc. — 1956. — Vol. 78, № 11. — P. 4939—4941.
6. Bacciochi E., Ruzziconi R., Sebastiani G. V. Irreversible E1cB mechanism in the *syn* elimination from 1,2-dihaloacenaphthenes promoted by potassium *tert*-butoxide // J. Chem. Soc. Chem. Commun. — 1980. — № 17. — P. 807—808.
7. Bacciochi E., Ruzziconi R., Sebastiani G.V. Concerted and stepwise mechanisms in the elimination from 1,2-dihaloacenaphthenes promoted by potassium *tert*-butoxide and potassium ethoxide in the corresponding alcohols // J. Org. Chem. — 1982. — Vol. 47, № 17. — P. 3237—3241.
8. Аникин В. Ф., Фадель М. А. 1,2-Производные аценафтилена. XIII. Синтез и установление конфигурации 5-галогензамещенных 1,2-дихлораценафтилена // Журн. орган. химии. — 1994. — Т. 30, № 2. — С. 276—280.
9. Anikin V. F., Veduta V. V., Merz A. Stereochemistry of the addition of bromine to acenaphthylene derivatives: substituent and solvent effects // Monatsh. Chem. — 1999. — Vol. 130, № 5. — P. 681—690.
10. Минкин В. И., Осипов О. А. Жданов Ю. А. Дипольные моменты в органической химии. — Л.: Химия, 1968. — 248 с.
11. Halverstadt J. F., Kumler W. D. Solvent polarization error and its elimination in calculating dipole moments // J. Am. Chem. Soc. — 1942. — Vol. 64, № 12. — P. 2988—2992.
12. Urbanski T., Wolff M. Acenafthenon-1 i jego pochodne. I. O selektywnym utlenianiu acenaftenu i jego nitrowych pochodnych // Roczn. chem. — 1965. — Vol. 39, № 10. — P. 1447—1452.
13. Rogers M. T., Cristol S. J. The electric moments and configurations of some *cis* — *trans* isomers // J. Am. Chem. Soc. — 1955. — Vol. 77, № 2. — P. 764—765.
14. Cantrell T. S., Shechter H. Reactions of dinitrogen tetroxide with acenaphthylene. Diels-Alder reactions and photodimerizations of 1-nitro- and 1,2-dinitroacenaphthylenes // J. Org. Chem. — 1968. — Vol. 33, № 1. — P. 114—118.
15. Bernardinelli G., Gerdil R. The crystal and molecular structure of *cis*-1,2-dichloroacenaphthene // Acta crystallogr. — 1974. — Vol. B 30, № 6. — P. 1594—1597.
16. Le Bihan P.R.T., Perucaud M.C. Structures atomiques du *trans*-1,2-dibromoacenaphthene antipodes // Acta crystallogr. — 1972. — Vol. B 28, № 2. — P. 629—634.
17. Левандовская Т. И. Синтез и свойства 1,2-дигалогензамещенных аценафтилена и их производных: Дис. ... канд. хим. наук. — Одесса, 1988. — 192 с.
18. Методы исследования быстрых реакций / Под ред. Хеммис Г. — М.: Мир, 1977. — 716 с.
19. Петренко Г. П., Усаченко В. Г., Шепетуха Н. С. Галогенпроизводные аценафтилена. VII. // Журн. орган. химии. — 1970. — Т. 6, № 11. — С. 2316—2319.
20. Петренко Г. П., Тельнюк Е. Н. Галоидпроизводные аценафтилена // Журн. орган. химии. — 1966. — Т. 2, № 4. — С. 722—727.
21. Денисов Е. Т. Кинетика гомогенных химических реакций. — М.: Высшая школа, 1978. — 367 с.

**В. Ф. Анікін, В. В. Ведута, Н. Ф. Фед’ко**

Одеський національний університет імені І. І. Мечникова  
вул. Дворянська, 2, 65082, Одеса, Україна; e-mail: anikin\_vf@paco.odessa.ua

**1,2-ПОХІДНІ АЦЕНАФТИЛЕНУ.**

**ДЕГІДРОХЛОРУВАННЯ ГАЛОГЕНОЗАМИЩЕНИХ *цис*- і  
*транс*-1,2-ДИХЛОРОАЦЕНАФТЕНУ В СИСТЕМІ *i*-PrOK–*i*-PrOH**

**Резюме**

Оцінено швидкості дегідрохлорування галогенозаміщених *цис*- і *транс*-1,2-дихлороаценафтенів в системі *i*-PrOK–*i*-PrOH. Значні відмінності швидкостей дозволяють надійно ідентифікувати *цис*- і *транс*- ізомери дихлоридів аценафтену.

**Ключові слова:** елімінування, *цис*- і *транс*-1,2-дихлороаценафтені, аценафтилен.

**V. F. Anikin, V. V. Veduta, N. F. Fed'ko**

Odessa National University, Department of Organic Chemistry,  
Dvoryanskaya St, 2, Odessa, 65082, Ukraine

**1,2-DERIVATIVES OF ACENAPHTHYLENE.**

**DEHYDROCHLORINATION OF HALOGENOSUBSTITUTED *cis*-  
AND *trans*-1,2-DICHLOROACENAPHTHENES IN THE SYSTEM  
*i*-PrOK–*i*-PrOH**

**Summary**

The rates of dehydrochlorination in core halogenosubstituted *cis*- and *trans*-1,2-dichloroacenaphthenes promoted by *i*-PrOK in *i*-PrOH have been evaluated. Considerable rate differences allow to identify dichlorides as *cis*- and *trans*- isomers.

**Key words:** elimination, *cis*- and *trans*-1,2-dichloroacenaphthenes, acenaphthylene.